

УДК 533.6.011.5

## К ЗАДАЧЕ ОБТЕКАНИЯ СВЕРХЗВУКОВЫМ ПОТОКОМ ПЕРЕСЕКАЮЩИХСЯ КРЫЛЬЕВ

Н. Ф. ВОРОБЬЕВ

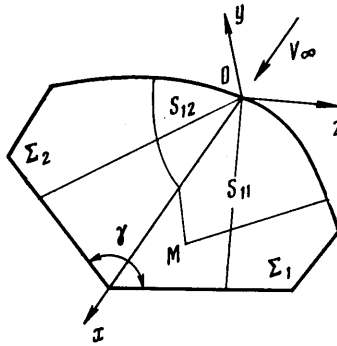
(Новосибирск)

Рассматривается в линейной постановке [1] задача обтекания сверхзвуковым потоком пересекающихся слабоизогнутых крыльев в случае, когда плоскости, на которые сносятся граничные условия на крыльях, образуют произвольный двугранный угол  $\gamma \leq \pi$ . Задача нахождения потенциала скорости сводится в общем случае к решению интегродифференциальных уравнений типа Вольтерра, ядра которых имеют особенности [2]. При двугранном угле  $\gamma = \pi/n$  ( $n=1, 2, 3, \dots$ ) потенциал скорости может быть выражен в явном виде через значения нормальных производных на гранях. Задача обтекания пересекающихся неплоских крыльев, образующих двугранные углы  $\gamma = \pi/n$ , с учетом концевого эффекта рассмотрена в [3, 4]. В работе автора [5] рассмотрен концевой эффект для неплоских крыльев в случае двугранного угла  $\gamma = m\pi/n$ . В случае обтекания сверхзвуковым потоком пересекающихся плоских крыльев, образующих произвольный угол  $\gamma$ , течение в зоне взаимодействия граней коническое и значение давления находится в элементарных функциях [6].

Ниже показано, что интегродифференциальные уравнения, к которым сводится задача обтекания неплоских крыльев в случае произвольного двугранного угла  $\gamma$ , могут быть решены методом последовательных приближений. Найдены в квадратурах приближенные решения, мало отличающиеся от точного решения во всей области взаимодействия крыльев и совпадающие с точным решением на характеристических линиях (границе, ребре двугранного угла).

Движение рассматривается в системе координат, перемещающейся вместе с крылом. Система координат выбирается таким образом, что ось  $x$ , являющаяся осью характеристического конуса  $\Gamma_0$  с вершиной в точке пересечения передних кромок, совпадает с ребром двугранного угла, а плоскость  $xz$  совпадает с гранью  $\Sigma_1$  (фиг. 1). Проводится преобразование координат

$$\begin{aligned} \frac{x}{x_0} (M_\infty^2 - 1), \quad & \frac{y}{x_0}, \\ \frac{z}{x_0}, \quad & [x_0 = \sup(x \in \Sigma_i), i = 1, 2] \end{aligned}$$



Фиг. 1

Здесь  $M_\infty$  — число Маха набегающего потока, так что угол при вершине характеристического конуса равен  $\pi/2$  и на крыле  $|x| \leq 1$ .

Решение ищется в зоне взаимодействия крыльев, которая лежит внутри характеристического конуса  $\Gamma_0$ . Вне зоны взаимодействия параметры потока могут быть вычислены по формулам для изолированного крыла и считаются известными.

В случае угла  $\gamma \leq \pi$  применение формулы Вольтерра для решения волнового уравнения сводит задачу нахождения потенциала скорости  $\varphi(x, y, z)$  на крыле  $\Sigma_i$  в общем случае к решению двух интегродифференциальных уравнений [2]

$$(1) \quad \varphi_i = \frac{1}{\pi} \frac{\partial}{\partial x} \left[ \iint_{S_{ii}} v_i \frac{\partial \varphi}{\partial N} ds + \iint_{S_{ij}} \left( v_i \frac{\partial \varphi}{\partial N} - \varphi \frac{\partial v_i}{\partial N} \right) ds \right]$$

$$i, j = 1, 2, \quad j \neq i, \quad M(x, y, z) \in \Sigma_i, \quad y^2 + z^2 \leq x^2$$

где  $S_{ii}(S_{ij})$  — область зависимости точки  $M \in \Sigma_i$  на крыле  $\Sigma_i(\Sigma_j)$ ,  $v_i$  — функция Вольтерра точки  $M \in \Sigma_i$ . После проведения в формуле (1) дифференцирования по  $x$  (предварительно необходимо в двойном интеграле выполнить интегрирование по частям по переменной  $\xi$ ) с учетом того, что на передней кромке крыльев значение потенциала равно нулю, потенциал в точке  $M \in \Sigma_i$  представляется в виде композиции двух интегродифференциальных уравнений со слабой особенностью в ядре

$$(2) \quad \varphi_i = F_i + B_j \varphi_j, \quad i, j = 1, 2, \quad i \neq j, \quad y^2 + z^2 \leq x^2$$

$$F_i = - \sum_{n=1}^2 \frac{l_n}{\pi} \iint_{S_{in}} \frac{a_n(\xi, R_n \zeta, \zeta)}{\gamma(x-\xi)^2 - r_{in}^2(\zeta)} d\xi d\zeta + B_j^\circ \varphi_j$$

$$B_j \varphi_j = (-1)^j \frac{Rz}{\pi} \int_0^{z_{ij}} \int_{l_j \zeta}^{x-r_{ij}(\zeta)} \frac{(x-\xi) \varphi_{j\xi}'(\xi, k_j \zeta, \zeta)}{r_{ij}^2(\zeta) \gamma(x-\xi)^2 - r_{ij}^2(\zeta)} d\xi d\zeta$$

$$r_{ij}^2(\zeta) = (z-\zeta)^2 + R_i^2 z^2 + R_j^2 \zeta^2, \quad R_1=0, \quad R_2=R, \quad R=\operatorname{tg} \gamma$$

$$l_n = \sqrt{1+R_n^2}$$

Функция  $F_i$  определяется через известные на поверхности крыльев  $\Sigma_i$ ,  $\Sigma_j$  значения  $\partial\varphi/\partial N = \partial\varphi/\partial n = a$ , а также через значение  $\varphi_x'$  на крыле  $\Sigma_j$  в части, не попадающей внутрь характеристического конуса  $\Gamma_0$ , где параметры потока определяются по формулам изолированного крыла и считаются известными величинами. Оператор  $B_j^\circ$ , стоящий в выражении для  $F_i$ , имеет такой же вид, как оператор  $B_j$ , только интегрирование в нем проводится по части  $S_{ij}$  области зависимости точки  $M \in \Sigma_i$  на крыле  $\Sigma_j$ , не попадающей внутрь характеристического конуса  $\Gamma_0$ . Для гладких крыльев  $(\partial\varphi/\partial n)|_{\Sigma_i}, \Sigma_j \in C$  функция  $F$  и ее производная  $F_x'$  принадлежат к классу  $C$  непрерывных функций.

Бооператоре  $B_j$  интегрирование проводится по части  $S_{ij}$ <sup>1</sup> области зависимости точки  $M \in \Sigma_i$  на крыле  $\Sigma_j$ , лежащей внутри характеристического конуса  $\Gamma_0$ , которая ограничена ребром двугранного угла и линиями пересечения характеристического конуса  $\Gamma_0$  и конуса зависимости точки  $M \in \Sigma_i$  с плоскостью  $\Sigma_j$

$$z_{ij} = 1/2 [x^2 - l_i^2 z^2] (x l_j - z)^{-1}$$

$z_{ij}$  — координата точки пересечения этих линий.

У оператора  $B_j$  ядро имеет особенность  $[(x-\xi)^2 - r_{ij}^2(\zeta)]^{-1/2}$  на характеристическом конусе точки  $M(x, y, z) \in \Sigma_i$  и особенность  $z r_{ij}^{-2}(\zeta)$  при  $z \rightarrow 0$ ,  $\zeta \rightarrow 0$  на ребре двугранного угла. Оператор  $B_j$  определен на пространстве непрерывных функций, имеющих непрерывную производную по переменной  $x$  (в линейной задаче газовой динамики производная  $\varphi_x'$  пропорциональна величине давления в потоке). Как можно убедиться, оператор  $B_j$  преобразует непрерывным образом это пространство в себя:

$$\sup |B_j \varphi_j| < \infty, \quad \sup |\partial/\partial x B_j \varphi_j| < \infty$$

при  $\sup |\varphi_{j\xi}'| < \infty$  (при оценке  $|\partial/\partial x (B_j \varphi_j)|$  перед проведением операции дифференцирования по  $x$  необходимо провести интегрирование по частям по переменной  $\xi$ ).

Норма оператора  $B_j$  после проведения операции интегрирования по переменной  $\xi$  может быть представлена в виде

$$\begin{aligned} \|B_j\| &= \left| \frac{Rz}{\pi} \int_0^{z_{ij}} \frac{[(x-l_j \zeta)^2 - r_{ij}^2(\zeta)] d\zeta}{r_{ij}^2(\zeta) \gamma(x-l_j \zeta)^2 - r_{ij}^2(\zeta)} \right| \leq \\ &\leq \left| \frac{Rzx}{\pi} \int_0^{z_{ij}} \frac{(x-l_j \zeta) d\zeta}{r_{ij}^2(\zeta) \gamma(x-l_j \zeta)^2 - r_{ij}^2(\zeta)} \right| \leq \\ &\leq \left| \frac{Rzx}{\pi} \int_0^{z_{ij}} \frac{d\zeta}{r_{ij}^2(\zeta) \sqrt{1-r_{ij}^2(\zeta)} (x-l_j z_{ij})^{-2}} \right| = \\ &= \left| \frac{x}{\pi} \left[ \frac{\pi}{2} - \operatorname{arc tg} \frac{(x-l_j z_{ij})}{|R| \sqrt{(x-l_j z_{ij})^2 - l_j^2 z^2}} \right] \right| \end{aligned}$$

Так как на крыле  $0 \leq x \leq 1$  и в области взаимодействия, где  $|z| \leq x$ , значение  $(x-l_j z_{ij}) > 0$ , то, как можно видеть,  $\|B_j\| < 1/2$ .

Композицию уравнений (2) можно представить в виде уравнения

$$(3) \quad \varphi_i = g_{ij} + D \varphi_i, \quad g_{ij} = F_i + B_j F_j, \quad D = B_j B_i$$

Используя  $B_i \varphi_i, \partial/\partial x B_i \varphi_i \in C$ , для оператора  $D$  можно показать, что он переводит пространство  $\varphi, \varphi_x' \in C$  в себя, причем норма  $|D| = |B_j B_i| < 1$ . В классе непрерывных вместе со своей производной по  $x$  функций решение уравнения (3) единственно и может быть найдено методом последовательных приближений [7].

$$\varphi_i = \sum_{n=0}^{\infty} D^n g_{ij}, \quad D^n = \underbrace{D \dots D}_n, \quad D^1 = I$$

Это решение и каждое из последовательных приближений на границе области взаимодействия ( $y^2 + z^2 = x^2$ ) совпадает с известным решением для изолированного крыла. На ребре двугранного угла ( $y=z=0$ ) также известно [8] точное значение потенциала скорости

$$(4) \quad \varphi^o(x, 0, 0) = - \sum_{n=1}^2 \frac{\sqrt{1+l_n}}{\gamma} \iint_{S_{on}} \frac{a_n(\xi, R_n \zeta, \zeta)}{\gamma((x-\xi)^2 - l_n^2 \zeta^2)} d\xi d\zeta$$

где  $S_{oi}$  — область зависимости на крыле  $\Sigma_i$  точки  $M$ , лежащей на ребре двугранного угла. В случае, когда в качестве пульевого приближения выбирается значение  $\varphi_{i,0}(x, R_i z, z) = g_{ij}$ , каждое из последовательных приближений при конечном числе итераций на ребре в общем не совпадает с точным значением

$$\varphi_{i,n}(x, 0, 0) = \left[ \sum_{R=0}^n D^R g_{ij} \right]_{y=z=0} \neq \varphi^o(x, 0, 0)$$

Если же в качестве пульевого приближения выбрать значение  $\varphi_{i,0}(x, R_i z, z) = g_{ij} + D\varphi^o$ , то каждое из последовательных приближений на ребре совпадает с точным значением

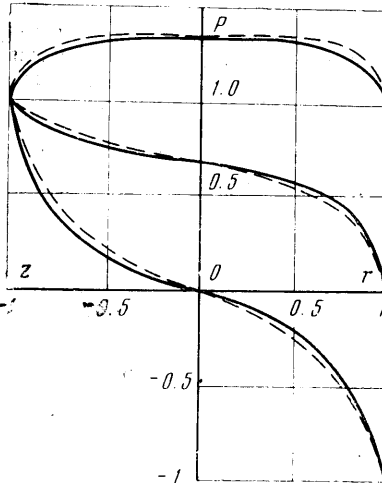
$$\begin{aligned} & \varphi_{i,n}(x, 0, 0) = \\ & = \left[ \sum_{R=0}^n D^R g_{ij} + D^{n+1} \varphi^o \right]_{y=z=0} = \varphi^o(x, 0, 0) \end{aligned}$$

На фиг. 2 приведены значения давления при  $x=\text{const}$  на гранях двугранного угла  $y^2 = 3/4\pi$ , составленного из прямоугольных пластин ( $r^2 = z^2 + y^2$ ).

Давление отнесено к величине давления на части крыла  $\Sigma_1$ , лежащей вне зоны взаимодействия ( $|z| \geq 1$ ). Значение давления на крыле  $\Sigma_2$  вне зоны взаимодействия выбрано равным  $P_2 = 1; 0; -1$ . Ребру соответствует значение  $z = y = 0$ . Пунктирной кривой нанесены значения пульевого приближения:

$$\begin{aligned} & \varphi_{i,0} = F_i + B_i \varphi^o, \quad i, j = 1, 2, \quad i \neq j, \\ & M(x, y, z) \in \Sigma_i \end{aligned}$$

а сплошной кривой — точное решение линейной задачи, полученное для конического течения согласно работе [6], причем на участке головного характеристического конуса, лежащего в зоне влияния обоих крыльев, давление принимается в случае  $\pi/2 \leq \gamma \leq \pi$  равным алгебраической сумме давлений за скачками каждого из крыльев.



Фиг. 2

- ЛИТЕРАТУРА
1. Красильщикова Е. А. Крыло конечного размаха в сжимаемом потоке. М., Гостехиздат, 1952.
  2. Воробьев Н. Ф. Обтекание сверхзвуковым потоком двух пересекающихся и двух параллельных крыльев. Изв. СО АН СССР, Сер. техн. н., 1969, вып. 2, № 8.
  3. Фридлендер Б. И. Крестообразные и Т-образные крылья конечного размаха в сжимаемом потоке. Инж. ж., 1962, т. 2, № 4.
  4. Фридлендер Б. И. Крестообразное крыло конечного размаха в сжимаемом потоке. Докл. АН СССР, 1963, т. 151, № 6.
  5. Воробьев Н. Ф. Концевой эффект при обтекании сверхзвуковым потоком двугранного угла. Изв. СО АН СССР, Сер. техн. н., 1970, вып. 1, № 3.
  6. Воробьев Н. Ф., Федосов В. П. Обтекание сверхзвуковым потоком двугранного угла (конический случай). Изв. АН СССР, МЖГ, 1972, № 5.
  7. Колмогоров А. Н., Фомин В. П. Элементы теории функций и функционального анализа. М., «Наука», 1972.
  8. Воробьев Н. Ф., Федосов В. П. Применение метода Вольтерра для решения задач обтекания тел пространственной конфигурации. Аэрогазодинамика, Труды 1-й Сибирской конференции 28 июля — 2 августа 1969. М., «Наука», 1972.

Поступила 7 VIII 1972